

**ПОВЫШЕНИЕ ЭФФЕКТИВНОСТИ ПРОМЫШЛЕННОЙ ЭКСПЛУАТАЦИИ УСТАНОВОК  
РИФОРМИНГА ЛЧ-35-11/1000 И ЛГ-35-8/300Б ПО «КИНЕФ»  
НА ОСНОВЕ СИСТЕМЫ КОНТРОЛЯ РАБОТЫ КАТАЛИЗАТОРА**

Д.И. Мельник, С.А. Галушин, А.В. Кравцов, Э.Д. Иванчина, В.Н. Фетисова

Томский политехнический университет  
E-mail: mdi@tpu.ru

*Рассмотрена перспектива использования на основе заводских информационных сетей и баз данных автоматизированной системы управления технологическим процессом системы контроля работы катализатора. Показана возможность снижения коксообразования при работе на оптимальной активности с помощью метода математического моделирования. Описана существующая и разрабатываемая схема автоматизации получения и анализа технологических данных, необходимых для расчетов.*

Эффективность промышленного производства определяющим образом зависит от управляемости технологическими процессами, в первую очередь, от возможности оперативного доступа к показателям работы катализатора и обеспечения контроля, анализа и прогнозирования технологических параметров процесса [1–3].

Заводские информационные сети автоматизированной системы управления технологическим процессом (АСУТП) решают только проблемы сбора, архивирования, накопления, структурирования данных с последующим предоставлением этой информации тем пользователям, чьи решения должны основываться на ее базе. АСУТП объединяет в единое информационное пространство большое количество распределенных систем. Нижний уровень данной системы представлен коммуникационными серверами, выполняющими функции разделения управляю-

щих и информационных сетей и передачи технологической информации на следующий уровень. В зоне информационной сети, охватывающей все предприятие, находится сервер сбора технологической информации, позволяющий хранить большие массивы данных о технологическом процессе. Пользователи имеют доступ как к архивной информации на сервере, так и к информации реального времени на коммуникационных серверах. Для обобщения информации, поступающей из различных источников в «ООО ПО «Киришинефтеоргсинтез» разработан и внедрен совместно со специализированной инженеринговой компанией «Севзапмонтажавтоматика» программный комплекс – «Единая тематическая витрина данных (ЕТВД)», предоставляющая пользователю удобный графический интерфейс доступа к данным лабораторного контроля, характеризующим его и их совокупное представление [4].

В то же время предоставление одной только технологической информации не освещает полную картину работы конкретного производства и предприятия в целом. При этом встает проблема анализа и переработки различной технологической информации с целью выдачи рекомендаций для повышения эффективности управления и эксплуатации сложных промышленных объектов.

Таким образом, цель настоящей работы заключается в разработке, с последующим внедрением в производство, системы контроля параметров эксплуатации катализатора, которая в настоящее время представляет собой самостоятельный программный продукт, позволяющий в полной мере оптимизировать работу реакторного блока процесса каталитического риформинга бензинов на установках ЛЧ-35-11/1000 и ЛГ-35-8/300Б ПО «Кинэф»

Основу этой системы контроля составляет математическая модель, основанная на физико-химических и кинетических закономерностях превращения углеводородов. Она описывает возможные виды реакций, протекающих в условиях каталитического риформинга – дегидрирование нафтен, дегидроциклизация парафинов, крекинг и гидрогенолиз, изомеризация нафтен и парафинов, образование непредельных углеводородов, образование кокса на катализаторе (рис. 1). При построении модели был применен принцип агрегирования, в результате чего количество реагентов было сокращено до 68 ключевых. Основным критерием при этом был вклад каждого компонента в детонационную стойкость смеси (рис. 1).

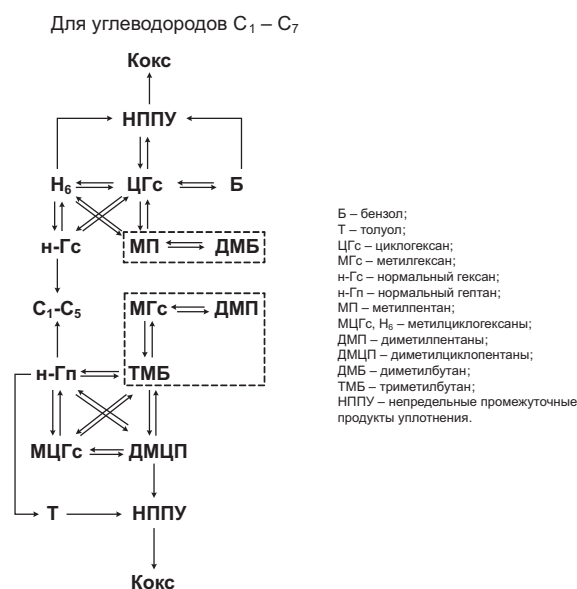


Рис. 1. Схема химических превращений углеводородов

В качестве основного критерия при оценке эффективности работы катализатора системой контроля нами предложено использовать оптимальную активность, которая рассчитывается из условия равновесия реакций коксообразования ( $r_c$ ) и саморегенерации или гидрирования промежуточ-

ных продуктов уплотнения ( $r_R$ ), протекающих на Pt-центрах в избытке водорода (рис. 2). При этом справедливы следующие соотношения для скоростей этих реакций.

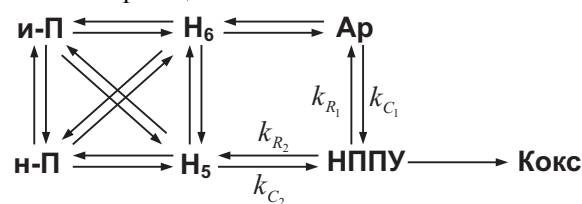


Рис. 2. Схема коксообразования: и-П – изопарафины; н-П – нормальные парафины; Н<sub>6</sub> – циклогексаны; Н<sub>5</sub> – циклопентаны; АР – ароматические углеводороды; НППУ – непредельные промежуточные продукты уплотнения (обратимый кокс); Кокс – кокс графитообразной структуры

Скорость реакции ароматизации:

$$r_A = k_A C_{P+N} (1 - \theta_C),$$

где  $k_A$  – константа скорости ароматизации,  $C_{P+N}$  – суммарная концентрация парафинов и нафтен,  $\theta_C$  – доля свободной поверхности катализатора.

Скорость реакции коксования:

$$r_C = k_C C_N (1 - \theta_C),$$

$$r_C = k_{C_1} C_N + k_{C_2} C_{Ap},$$

где  $k_C$  – константа скорости коксования,  $k_{C_1}$  и  $k_{C_2}$  – константы скорости коксования из ароматики и из нафтен,  $C_N$  и  $C_{Ap}$  – концентрации нафтен и ароматики.

Скорость реакции гидрирования промежуточных продуктов уплотнения:

$$r_R = k_R C_{H_2} C_{НППУ},$$

где  $k_R$  – константа скорости гидрирования,  $C_{H_2}$  и  $C_{НППУ}$  – концентрации водорода и непредельных промежуточных продуктов уплотнения.

Исходя из условия равновесия реакций коксования и гидрирования непредельных промежуточных продуктов уплотнения, получим:

$$k_C C_N (1 - \theta_C) = k_R C_{H_2} C_{НППУ}.$$

Откуда можно получить выражение для оптимальной активности катализатора:

$$a_{\text{опт}} = \frac{k_{R_1} \cdot C_{H_2} \cdot C_{НППУ} + k_{R_2} \cdot C_{H_2} \cdot C_{НППУ}}{k_{C_1} \cdot C_N + k_{C_2} \cdot C_{Ap}},$$

где  $k_{R_1}$  и  $k_{R_2}$  – константы скоростей гидрирования в ароматику и в нафтен.

Отклонение от оптимальной активности катализатора, которое можно регулировать с помощью компьютерной системы контроля, приводит к сдвигу равновесия реакции в сторону образования коксогенных структур. На рис. 3 приведена зависимость накопления кокса на катализаторе в последней ступени риформирования на установке ЛГ-35-8/300Б при работе на оптимальной активности (кривая 2) и в реальном режиме (кривая 1). Ра-

бота на оптимальной активности позволяет снизить коксообразование на 15...20 %.

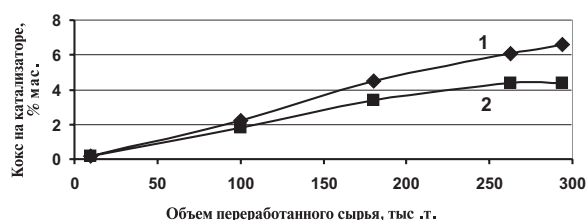


Рис. 3. Зависимость накопления кокса от объема переработанного сырья

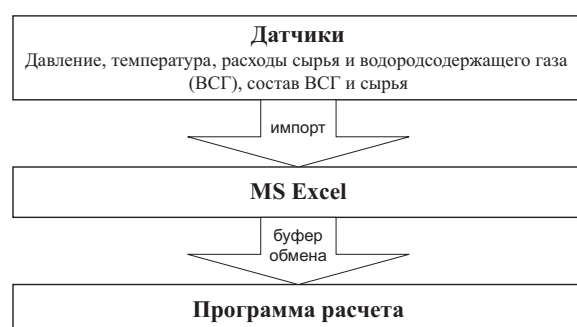


Рис. 4. Схема автоматического ввода данных

Разработанная система автоматического ввода данных предназначена для импортирования параметров работы установки из общезаводской сети в программу «Активность». Принцип работы системы автоматического ввода данных по работе установки заключается в следующем. Параметры работы установки собираются в общезаводской системе контроля. Далее проводится выбор, выбираются необходимые датчики за определенный период и экспортируются в MS Excel, после чего они через буфер обмена копируются в программу (рис. 4).

Элементы управления системой ввода данных находятся на окнах набора технологических данных и составов сырья и катализата, рис. 5, 6. На окне ввода технологических данных имеются две дополнительные кнопки: «Импорт ТУ» для ввода данных по давлениям, температурам и расходам; «Импорт ВСГ», для ввода состава водородсодержащего газа соответственно.

В настоящее время разрабатывается автоматизированная система контроля, представляющая собой программный продукт для расчета основных характеристик работы катализатора риформинга, напрямую взаимодействующий с общезаводской базой данных АСУТП, рис. 7.

**Технологические параметры процесса риформинга**

Дата отбора: 03.02.2004  
 Дата регенерации катализатора: 01.08.2003  
 Объем переработанного сырья, т.: 700343  
 Расход ВСГ, м.куб/час: 185000,0  
 Влажность ВСГ, ppm: 24,3  
 Серы в гидрогенизате, ppm: 0,00  
 Расход сырья, м.куб/час: 150,0  
 Кнопка: Импорт ТУ

Параметр	Р-2	Р-3	Р-4
Давление, атм	15,38	14,65	14,14
Температура, °C	482,0	482,0	482,0
Перепад темп., °C	71,0	39,0	19,0

Гидрогенизат → Печь → Катализат

**Состав ВСГ**

Компонент	Н1	С1	С2	С3	н-С4	изо-С4	н-С5	изо-С5	С6	Итого
Состав ВСГ	85,00	5,58	3,95	3,11	0,72	0,83	0,16	0,36	0,29	100,0%

Кнопки: << Назад, Далее >>, Импорт ВСГ

Рис. 5. Схема окна ввода технологических данных

**Состав сырья и катализата**

Состав сырья и катализата, % вес.

Сырье		Катализат	Сырье		Катализат	Сырье		Катализат
1. Этан	0.000	0.000	24. 1,3-ДМЦП (т)	1.710	0.500	47. нафт. до С8	0.020	0.020
2. Пропан	0.000	0.010	25. 1,2-ДМЦП (т)	2.890	0.100	48. н-Октан	0.460	0.180
3. изо-Бутан	0.010	0.460	26. н-Гептан	11.800	3.400	49. 1,2-ДМЦГ (т)	0.260	0.000
4. н-Бутан	0.010	1.790	27. 1,2-ДМЦП	0.570	0.060	50. 1,3-ДМЦГ (т)	0.060	0.000
5. изо-Пентан	0.010	2.900	28. 2,3-ДМГ	0.000	0.000	51. 2,3,5-ТМГ	0.160	0.020
6. н-Пентан	0.020	1.840	29. 1,1,3-ТМЦП	9.430	0.070	52. 2,2-ДМГП	0.000	0.000
7. 2,2-ДМБ	0.010	0.520	30. МЦГ	0.000	0.000	53. 2,4-ДМГП	0.040	0.050
8. ц-Пентан	0.020	0.080	31. 2,5-ДМГ	0.220	0.050	54. 2,2,3-ТМГ	0.440	0.050
9. 2,3-ДМБ	0.060	0.470	32. 2,4-ДМГ	0.240	0.050	55. 2-М, 3-ЭГ	0.030	0.020
10. 2-МП	0.650	2.530	33. ЭЦП	1.390	0.030	56. 2,6-ДМГП	1.590	0.050
11. 3-МП	0.650	1.960	34. 2,2,3-ТМП	0.000	0.000	57. 2,5-ДМГП	0.790	0.140
12. н-Гексан	3.120	2.460	35. 1,2,4-ТМЦП	0.310	0.000	58. 3,3-ДМГП	0.620	0.000
13. МЦП	2.560	1.060	36. 3,3-ДМГ	0.000	0.000	59. ЭЦГ+ЭБензол	2.830	3.070
14. 2,2-ДМП	0.000	0.000	37. Толуол	2.410	22.700	60. ТМЦП	1.920	0.020
15. 2,4-ДМП	0.280	0.540	38. 1,2,3-ТМЦП	0.290	0.000	61. 2,3,4-ТМГ	1.090	0.000
16. Бензол	0.360	5.120	39. 2,3,4-ТМП	0.000	0.000	62. п-Ксилол	0.700	2.030
17. 2,3,3-ТМП	0.030	0.020	40. 2,3-ДМГ	0.000	0.000	63. м-Ксилол	1.990	5.080
18. 3,3-ДМП	0.050	0.520	41. 2-М, 3-ЭП	0.000	0.060	64. изо-С9	6.980	0.730
19. ц-Гексан	2.930	0.040	42. 1,1,2-ТМЦП	0.000	0.000	65. о-Ксилол	0.930	3.060
20. 2-МГ	2.470	3.580	43. 2-МГП	0.030	0.190	66. нафт. до С9	2.600	0.000
21. 2,3-ДМП	1.290	1.360	44. 4-МГП	0.000	0.100	67. н-Нонан	5.730	0.230
22. 3-МГ	3.590	4.430	45. 3,4-ДМГ	0.000	0.030	68. С9+	19.930	25.570
23. 1,3-ДМЦП (ц)	1.420	0.080	46. 3-МГП	0.000	0.290	69. в т. ч. Ар	5.050	23.550

**Сумма сырья: 100,000      Сумма катализата: 99,720**

Фракционный состав и плотность для введенного углеводородного состава сырья, в ОС

НК 96.00 10% 106.0 50% 127.0 90% 156.0 КК 172.0  $\rho, \text{г/см}^3$  0.750

Открыть      Сохранить как      Импорт из хроматограммы      Далее

Рис. 6. Схема окна ввода составов сырья и катализата

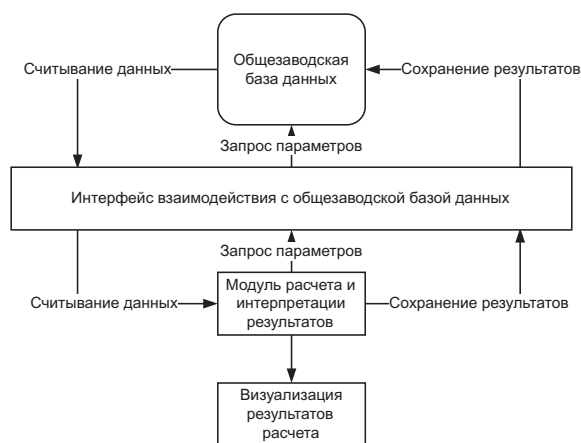


Рис. 7. Схема внутренней архитектуры автоматизированной системы контроля катализатора

Приведенная выше схема отображает функциональное взаимодействие элементов системы контроля.

Модуль расчета представляет собой самостоятельную программу, обеспечивающую:

- выполнение расчетов;
- визуализацию результатов.

Получение данных, необходимых для расчета осуществляется посредством внешнего интерфейса, функции которого заключаются в:

- возвращении списка запрашиваемых параметров;
- сохранении результатов расчета в общезаводской базе данных.

По запросу пользователя результаты проведенных расчетов отображаются внутренними средствами модуля расчета в графическом и табличном виде.

Результаты расчета можно просмотреть, выбрав в меню необходимый пользователю тип результатов. Управление отображением результатов осуществляется посредством элементов интерфейса программы.

Все результаты расчетов сводятся в «сводную таблицу»; информация для отображения может быть взята как из общезаводской базы данных, так и с локального компьютера.

Система контроля катализатора позволяет проводить расчеты:

- текущей активности катализатора по данным хроматографического анализа сырья и катализата за текущую дату;
- оптимальной активности катализатора;
- влияния состава сырья на процесс;
- скорости дезактивации катализатора;
- прогноза работы катализатора на объем переработанного сырья;

- основных характеристик процесса регенерации катализатора (выжиг кокса, оксихлорирование, сульфидирование).

Таким образом, внедрение данного модуля в общезаводскую базу данных обеспечит:

1. Контроль текущей активности катализатора по данным лабораторных анализов сырья и катализатора с установок риформинга ЛЧ-35-11/1000 и ЛГ-35-8/300Б.
2. Работу на оптимальной активности катализатора, что позволит снизить коксоотложение на его поверхности на 15...20 %.
3. Контроль коксообразования на поверхности Pt-контакта с последующим регулированием технологического режима.

#### СПИСОК ЛИТЕРАТУРЫ

1. Кравцов А.В., Иванчина Э.Д. Компьютерное прогнозирование и оптимизация производства бензинов. — Томск: STT, 2000. — 192 с.
2. Кравцов А.В., Иванчина Э.Д. Интеллектуальные системы в химической технологии в инженерном образовании. — Новосибирск: Наука, 1996. — 200 с.
3. Кравцов А.В., Иванчина Э.Д., Галушин С.А., Полубоярцев Д.С., Воропаева Е.Н., Мельник Д.И. Оценка эффективности реакторного блока установки риформинга с применением математической модели процесса // Известия Томского политехнического университета. — 2004. — Т. 307. — № 1. — С. 119–122.
4. Гершберг А.Ф., Безручко О.А. Автоматизация производства ООО «Кинеш». Применение современных информационных технологий // Нефтепереработка и нефтехимия. — 2004. — № 10. — С. 5–6.
4. Прогнозирование активности катализатора и срока его регенерации в зависимости от режима работы и расхода сырья.
5. Работу в режиме исследования состава сырья на эффективность процесса риформинга и выдачу рекомендаций для режимов работы колонн.
6. Систематический расчет скорости дезактивации катализатора и выдачу рекомендаций для его активации (подача хлорорганических соединений и воды в реакционную зону).
7. Расчет основных технологических параметров процесса регенерации катализатора в заданных интервалах, что обеспечит формирование активных центров и высокую площадь удельной поверхности платиновых контактов.